

### III-7 練り返し粘土の力学特性

金沢大学工学部 正員 ○八木則男  
金沢大学工学部 正員 西田義親  
金沢大学工学部 大島理喜夫

#### 1. まえがき

飽和粘土の力学特性の研究は、均一な不擾乱粘土を数多く得ることの困難さから、練り返し再圧密粘土に対し多くなされてきた。そして正規圧密状態とはスラリー状の粘土を圧密したもので、正規状態での圧密圧力 $\sigma_0$ と間げき比 $w$ （含水比 $w$ ）の関係は一義的に決定される。したがって先行荷重 $\sigma_e$ と過圧密比 $OCR$ がわかれれば粘土の状態が決定され、力学特性は $\sigma_e$ と $OCR$ によく統一的に表示することにより、大いなる成果が得られてきた。<sup>1)</sup>しかし、ある荷重で圧密された粘土を練り返すことによって応力履歴を取り除き、再度圧密をすると同じ圧密圧力の下でも以前のものより低含水比の状態が得られる。この状態を正規圧密と呼んでよいかどうかはわからないが、一応練り返し正規状態と呼ぶことにし、この状態に対応する練り返し過圧密を考えると、 $\sigma_e$ ～ $w$ 関係のある一点における状態は練り返し時の含水比、 $\sigma_e$ 、 $OCR$ がわからなければ決定できません、その点における状態は数多く存在することになる。したがって $\sigma_e$ と $OCR$ のみでは粘土の力学特性は表示し得なくなる。そこでこのような状態での粘土の力学特性を統一的に表示することを目的として練り返し粘土に対し、圧密非排水試験を行なった。このような研究は少なく、例えば Ladd<sup>2)</sup>らがサニプリング時の乱れの影響についてわずかに行なっているが、それも系統的ではない。

#### 2. 試料、実験方法

試料は石川県地方で九谷焼に用いられる淡茶色のカオリン粘土で、L.L.=79.3%，P.L.=26.8%，2μ以下の粒子55%である。実験は普通の圧密非排水3軸圧縮試験でバックプレッシャー3kg/cm<sup>2</sup>、間げき水圧はストレーンゲージタイプの水圧計を通じ自記させた。供試体の状態を等方圧密圧力 $\sigma_0$ と含水比 $w$ の関係で示すと図-1のようになる。図-1でスラリー状から圧密したものを正規状態NC、これに対応する過圧密状態をOC、一度圧密した粘土を練り返し再度圧密したものを練り返し正規状態RNC、これに対する過圧密状態ROCと呼ぶ。図-1でRNCを直線で結んだのは練り返し時の含水比 $w$ がほぼ同じものである。

#### 3. 実験結果と考察

以下紙面に制限があるので、次の事柄について図に従い結果と結論を簡単に述べる。

a) 強度：図-2に含水比 $w$ と非排水強度 $(\sigma'_e - \sigma'_s)_f$ の対数との関係を示す。 $w$ が同じであれば両者は直線関係で示され、同じ $w$ では $w$ が小さいほど強度は小さい。これは後に述べる間げき水圧係数 $A_f$ をみれば理解できる。次に強度常数 $C_f$ 、 $\phi'$ を調べるために、 $(\sigma'_e - \sigma'_s)/2$ と $(\sigma'_e + \sigma'_s)/2$ の関係を示したのが図-3である。 $\phi'$ においてRNCの方が15°程度大きくなっている。さらに Hvorslevの強度常数 $C_e$ 、 $\phi_e$ を求めたために $(\sigma'_e - \sigma'_s)/2\sigma_e$ と $\sigma'_s/\sigma_e$  ( $\sigma_e$ ：図-1のNC線上での等価圧密圧力)

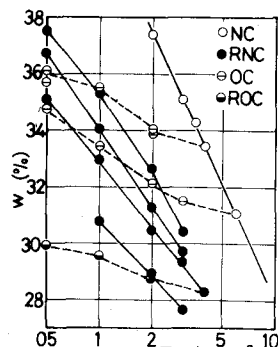


図-1

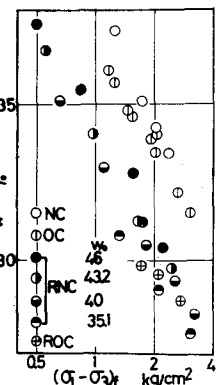


図-2

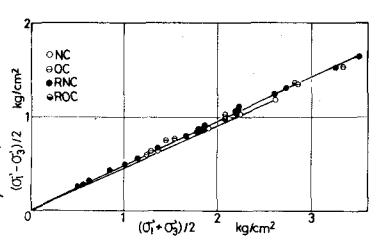


図-3

の関係を示したのが図-4である。ばらつきはあるが、明らかにNCとOCを結んだ線とRNCとROCを結んだ線とは異なり  $C_e$ ,  $\gamma'_e$  の値が異なることを示している。後者に対し  $R$  の添字つき  $\gamma'_e$  の値を求める  $\gamma'_e = 21^\circ 02'$ ,  $\gamma_{eR} = 26^\circ 10'$ 、粘着力係数  $c = 0.069$ ,  $\delta_R = 0.011$  なる。また RNC, ROC 線の延長線上に NC 点があるのも興味深い。以上より  $C_e$ ,  $\gamma'_e$  は応力履歴の影響を受けると思われる。

b)間けき水圧係数  $A_f$ : NC 線上では  $A_f$  が等しいことは以前よりいわれているが、RNC 線上では等しくなかった。 $A_f$  は  $O'_c$  と  $w$  の関数であるが、NC 線上で一定値を示すことは  $O'_c$ ,  $w$  の影響を含めて NC 線の勾配であれば一定値を示すのではないかと予想される。そこで RNC の各点より NC 線に平行線を引き  $O'_c = 1$  ( $\log O'_c = 0$ ) における値を  $b$  とし、 $b$  と  $A_f$  の関係を示すと図-5のようになる。OC のような応力履歴を持たないという共通点を有する NC, RNC の  $A_f$  は  $b$  により統一的に表わされる。同時に OC, ROC の  $A_f$  をプロットしたが NC, RNC よりもかなり小さい。

c)応力経路: 図-6 に含水比の近い RNC と過圧密に対する有効応力経路を示す。両者には明確な差がみられ、応力経路の違いがある圧密荷重に対する含水比の差だけでは説明できない。また  $A_f$  が  $b$  によって統一的に表示できることから  $b$  が同じであれば、応力経路が相似になることが予想されるので、同じ  $b$  で  $O'_c$  の異なるものに対する応力経路を示すと図-7のようになり、同じひずみに対する点は原点を通る直線上にあることが示された。さらにこの事実を確かめられたため、 $(O'_1 + O'_3)/2$  が最小になる点のひずみ  $E_{(O'_1+O'_3)/2 \text{ min}}$  と  $b$  の関係を示すと図-8 のようになり、ばらつきはあるが  $E_{(O'_1+O'_3)/2 \text{ min}}$  と  $b$  の関係は一義的であろう。

#### 4. あとがき

粘土の応力履歴圧密の状態の影響が大きいことが判明した。これらを説明するためには正規圧密、過圧密に対する粒子の骨格構造が明確にされる必要がある。この結果を実用するには粘土の応力履歴や圧密の履歴、すなわち図-1 などの状態にあるかを知る方法が必要であるが、それらについては目下研究中である。なお、上記の性質がここで用いた几谷粘土以外の粘土についても同様か、また練り返し粘土の圧密時間（シキソトロピー的な）等の問題についても今後、検討するつもりである。

#### 参考文献

- 1) 例えは D.J. Henkel, "The Relationship between the Strength, Pore-Water Pressure and Volume Change Characteristics of Saturated Clays", Geotechnique, Vol. IX, No. 3, 1959
- 2) C.C. Ladd & T.W. Lambe, "The Strength of Undisturbed Clay Determined from Undrained Tests", ASTM Spec. Tech. Publ., No. 361, 1963

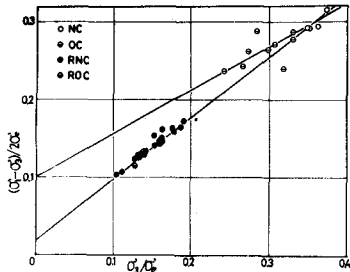


図-4

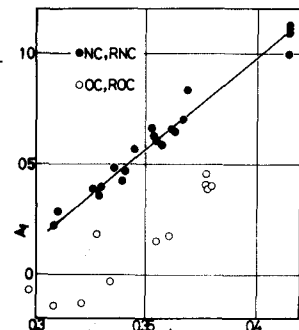


図-5

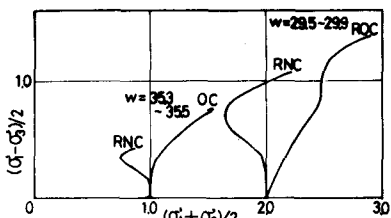


図-6

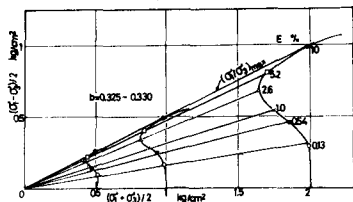


図-7

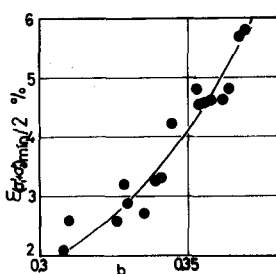


図-8